

## IV-2

### シラス層斜面の地震時における安定性について

宮崎大学工学部 正 夏〇 藤本 廣  
 同 学生夏 漢谷 武治  
 同 同 田中俊彦

#### 1. まえがき

これまでのシラス層斜面の崩壊機構やその対策に関する研究は、大部分が降雨に起因する崩壊や浸食を対象としたものであったが、昨年のえびの地震以来、地震振動を受けた場合の斜面の安定性といふことが土質工学上的一大課題となってきた。一般に、シラス層斜面は雨水流による浸食に対しては勾配が急な程よい状であるが、力学的には急勾配程不安定になることは当然で、この点より合理的な法勾配の決定という実際問題に当っては、結局、対象とするシラスのせん断抵抗特性に応じて安定を保ちうる最急勾配（勾配の上限）を求め、法面保護は別途に考えるという方法をとる以外にあらず。ところが、ここで上記の最急勾配が地震時ににおける安定性といふ問題になると、現在まだそつ左<sup>(1), (2)</sup>ツアの方法は確立されていない。<sup>(3)</sup> 最近、H.B.SeedおよびR.E.Goodman や石原助教授がこのようないくつか問題について研究された結果を発表しているが、後述するように、それらはいずれも無限長斜面といふ条件下で斜面に平行な平面のすべりを対象としている。

しかしながら、実際にえびの地震によるシラス層斜面の崩壊形態を調査してみると、斜面上部のいわゆる法肩部分が崩落（一種の斜面内崩壊：slope failure）しているとみられる例も少なくない。そこで筆者らは、独自の観察からそのような崩壊に対する安定性解析の方法を考案し、現在、そつ結果を室内の模型振動実験と現地崩壊例とによって比較検討中である。本文では、主として筆者らが試みていく新しい振動加速度を受けた場合の斜面安定解析法を説明することにする。

#### 2. Seed および Goodman の研究と石原の解析方法

Seed らは、傾斜角  $\alpha$  が斜面材料の内部摩擦角  $\phi$  以下というような緩勾配の長大斜面が水平方向の振動加速度を受けた場合の安定問題を、図1に示す力の極限平衡条件から解析して斜面前壊時の限界震度を yield acceleration :  $(K_y)_{\text{horizon}}$  と稱して次式を求めている。

$$(K_y)_{\text{horizon}} = \tan(\phi - \alpha) + \frac{S_i + S_e}{d \cdot f(\cos \alpha + \sin \alpha \tan \phi)} \quad \text{---(1)}$$

ここで、 $d$  はすべり面の深さ、 $f$  は土の密度、 $S_i$  は粘着力に相当するものであるが Seed らは  $\phi = 0$  における

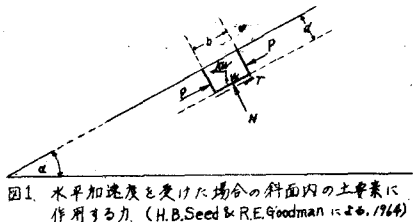


図1. 水平加速度を受けた場合の斜面内の土要素に作用する力. (H.B.Seed & R.E.Goodman による, 1964)

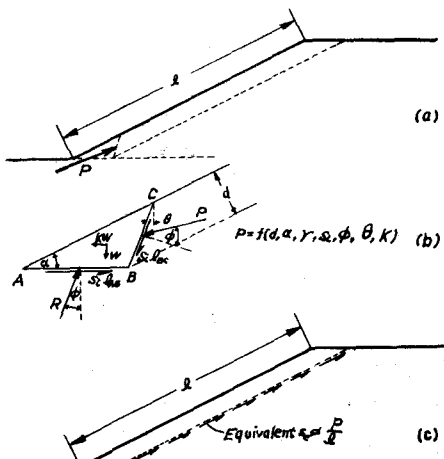


図2. ベリに付する抵抗力におよぼす法尻土標の影響 (H.B.Seed & R.E.Goodman による, 1964)

shear strength intercept と特に断つて定義している。Se は図 2 における法尻土標部の変形抵抗を考慮した抵抗力  $P$  をすべり面長として割った値である。この  $P$  の計算式は次式で示されている。

$$P = \frac{d^2 \delta}{2 \cos(2\phi - \theta)} \left\{ (\cos\alpha + \tan(\alpha + \theta)) \left( \sin\phi - K_a \cos\phi \right) + \frac{2S_i}{d \cdot \delta} \cos\phi \left( \frac{1}{\sin\alpha} + \frac{\sin(\phi - \theta)}{\cos(\alpha + \theta) \cos\phi} \right) \right\} \quad (2)$$

以上の Seed らの解析結果は  $\alpha < \phi$  というような緩傾斜の砂斜面に対しては実験結果と比較的良好に合致している。しかしながら、著者らが、式(1), (2)がシラス斜面のような急斜面に適用できるか否かをチェックするために、 $\alpha$  を  $45^\circ, 60^\circ, 70^\circ, 80^\circ$  および  $90^\circ$  の 5 種、 $\theta$  を図 2(b)の B 夾と通じた鉛直線に対する左右  $\pm 40^\circ$  の範囲内で  $10^\circ$  おきの 9 種、 $K_a$  を 0.3 以上 5 種、 $d$  を模型実験に対応させて 1 cm おきに 5 種とし、計  $5 \times 9 \times 5 \times 5 = 1125$  通りの組合せについて電算機により計算してみたところ、 $\alpha > \phi$  の条件では  $P$  の最小値が常に  $\theta = 0^\circ$  となり、式(2)によって  $P$  の最小値を求める意味が不明確となつたので、結局、Seed らの方法はシラス層斜面のような急勾配には不適当であると考えざるを得ないようになつた。文献 2)で Seed らはさらに、砂の応力-変形関係を考慮に入れて上記と同様な緩傾斜の斜面に対してすべり層の変位を求める運動方程式を立て、地震時の安定解析を行なつてゐるが、その方法も著者らが対象とする急斜面とはかなり条件が異なつてゐるので本章では採用しないことにした。

一方、石原助教授は傾斜角が  $45^\circ$  以上の無限長斜面を対象として、すべり面は Seed らと同様に斜面に平行で、シラスの動的強度定数と静的強度定数と同じと仮定して、静的状態における安全率

$$F_c = (c/\gamma d + \cos\alpha \tan\phi)/\sin\alpha \quad (3)$$

と式(1)との組合せにより、限界加速度を真と強度定数との函数でもって次式のように求めてゐる。

$$K_y = \frac{\partial c}{g} = \left\{ \left( E_c - 1 \right) \left( \frac{\tan\phi}{E_c} + \frac{c}{E_c d} \sqrt{1 + \left( \frac{\tan\phi}{E_c} \right)^2 - \left( \frac{c}{E_c d} \right)^2} \right) \right\} / \left\{ 1 + \frac{\tan\phi}{E_c} - \left( \frac{c}{E_c d} \right)^2 + \frac{c}{E_c d} \sqrt{1 + \left( \frac{\tan\phi}{E_c} \right)^2 - \left( \frac{c}{E_c d} \right)^2} \right\} \quad (4)$$

石原助教授は式(4)にシラスの代表的な強度定数として、 $C = 0.3 \text{ kg/cm}^2$ ,  $\phi = 42^\circ$ ,  $E = 1.4 \text{ GPa}$  を採用し、すべり層の深さ  $d$  を  $1.5 \text{ m}$  と  $2 \text{ m}$  の 2 種について  $E_c$  と  $K_y$  の関係を求め、例えば、 $\alpha = 85^\circ$ ,  $d = 2 \text{ m}$  では  $0.11 g$ ,  $\alpha = 75^\circ$ ,  $d = 2 \text{ m}$  では  $0.27 g$  の地震力を、また、 $d = 1.5 \text{ m}$  の場合、 $\alpha > 45^\circ$  に対しては  $0.5 g$  以上の地震力が作用すれば崩壊するという計算結果を発しておられる。但し、 $g$  は重力の加速度である。

### 3. 著者らの方法

以上で Seed や石原助教授の考え方に対し、著者らはまことに述べたように、地震時の斜面崩壊には、肩部分の崩落、つまり所謂斜面内破壊もあるとして、そのすべり面を図 3(b)に示すように平面と仮定して、このようないくつかの崩壊タイプに対する

安定解析を行なつてみた。

すなわち、地震時の斜面内崩壊は、斜面の高さ  $H$ 、傾斜角  $\alpha$ 、地震加速度  $\ddot{g} = K_0 g$ 、土の強度定数  $C$  と中立点に土の巣度  $\phi$  にすべて関係するとして、仮想すべり面 C-D における力の極限平衡条件式とより法尻 A 夾の周りのモーメントの平衡式を求めるところのようになる。

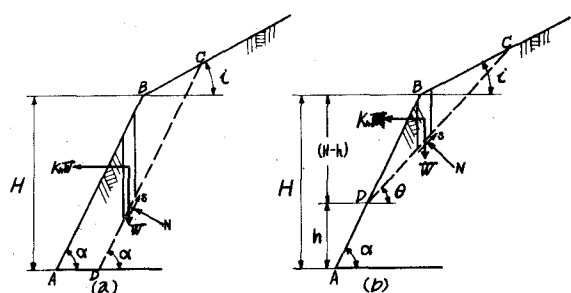


図 3. 地震時の斜面崩壊

$$W \sin \theta + K_h W \cos \theta = CL + N \tan \phi \quad \dots \dots \dots (5)$$

$$\Sigma M = (CL + N \tan \phi) z + W z - K_h W y_0 = 0 \quad \dots \dots \dots (6)$$

$$\text{ただし}, N = W \cos \theta - K_h W \sin \theta, W = \frac{(H-h)^2}{2} \frac{\sin(\alpha-\theta)}{\sin \alpha \sin \theta}, L = (H-h)/\sin \theta,$$

$$x_0 = \frac{H-h}{3} \left( \frac{1}{\tan \alpha} + \frac{1}{\tan \theta} \right) + \frac{h}{\tan \theta}, \quad y_0 = \frac{1}{2} (2H+h), \quad z = h \cos \theta \left( 1 - \frac{\tan \theta}{\tan \alpha} \right)$$

これらの方程式から次式が求められる。但し、図3(a)のときは  $\ell=0$  とする。

$$H = h + \frac{2C \sin \alpha \cos \phi}{\rho \sin(\alpha-\theta)} \frac{1}{K_h \cos(\theta-\phi) + \sin(\theta-\phi)} \quad \dots \dots \dots (7)$$

$$h = \frac{2}{3} \frac{C \sin \alpha \cos^2 \phi}{\rho \sin(\alpha-\theta) \sin \theta (K_h \cos(\theta-\phi) + \sin(\theta-\phi))^2} \left( 2K_h - \left( \frac{1}{\tan \alpha} + \frac{1}{\tan \theta} \right) \right) \quad \dots \dots \dots (8)$$

式(7)と(8)は地震時の有限長斜面の安定を保ちうる限界高さを求める式とでもいふべきであるが、通常の限界高さの概念とは若干異なる。すなわち、一般に静止時の有限長斜面の安定を保ちうる限界高さ  $H_c$  は、すべり面を平面と仮定した場合、力の平衡の極限状態ですべり面にあたる土のせん断抵抗がモビウス化されるとしてすべり面の限界傾斜角  $\theta_c$  を求めたうえで次式で与えられることがある。

$$H_c = \frac{C \sin \alpha \cos \phi}{\rho (1 - \cos(\alpha - \phi))} \quad \dots \dots \dots (9)$$

これに対し筆者らは実際の崩壊現象を考慮に入れて、与えられた高さ  $H$ 、傾斜角  $\alpha$  の斜面の地震時のすべり面 C~D の位置は地震加速度  $K_h \theta$  に強く左右されると考えた。すなわち、 $\theta$  は  $K_h$  に逆比例的に、 $\alpha$  は  $K_h$  に比例的に変化すると仮定して次のようないくつかの計算方法を採用することにした。先づ、C, 中, D および  $\alpha$  と  $H$  を与えて  $K_h$  と  $\theta$  の関係を求める。但し、この計算ではひが本定であるので計算式には式(8)を式(7)に代入してそれを採用する。図4(a)はかくして求めた  $K_h$  と  $\theta$  の関係を  $H$  をパラメータとして図示したもので、 $\alpha=80^\circ$ ,  $C=0.3 \text{ kg/cm}^2$ ,  $\phi=40^\circ$ ,  $\rho=1.4 \text{ t/m}^3$  の場合である。次に、図4(a)の関係を用いて式(7)より  $K_h$  を計算して  $K_h$  に対してプロットすると図4(b)が得られる。図4(b)で  $h$  が真値を示す場合が出てくるが、この点が筆者らの方法の特徴である。すなわち、 $h \leq 0$  となることは与えられた斜面高さ  $H$  以内にすべりが発生しないことを意味すると言えられる。

つまり、 $h=0$  なる点の  $K_h$  がすべり発生の限界加速度と考える誤である。このようにして求められた限

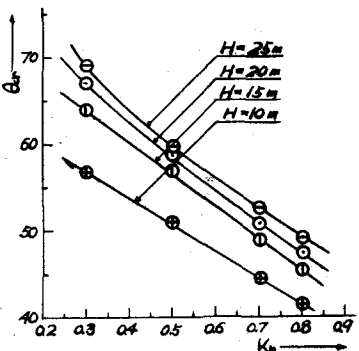


図4(a). すべり面の傾斜角  $\theta$  と震度  $K_h$  との関係。 $(\alpha=80^\circ$ の場合)

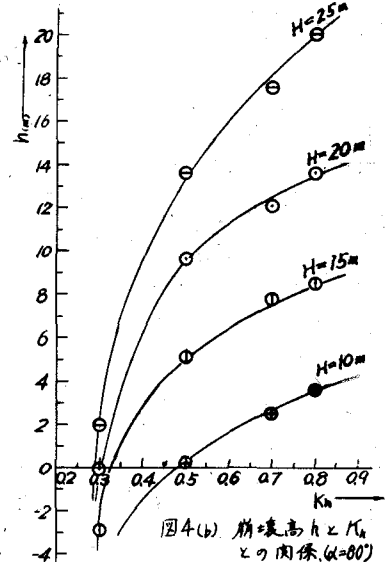


図4(b). 崩壊高さ  $h$  と  $K_h$  との関係。 $(\alpha=80^\circ)$

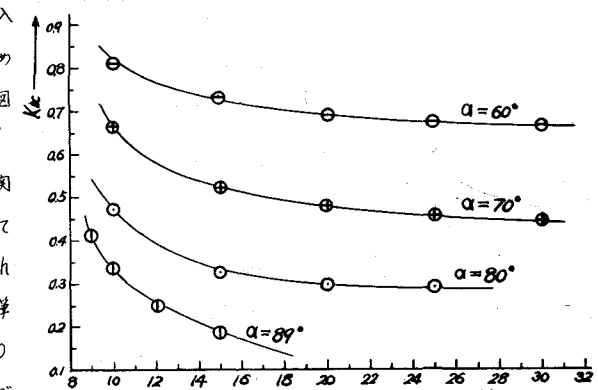


図4(c). 限界加速度係数( $K_{hc}$ )と斜面の限界高さ  $H$  との関係。

界加速度  $K_{ac}$  を傾斜角  $\alpha$  をパラメーターとして  $H$  に対してプロットしたものが図4(c)である。図4(c)から例えれば、 $H=20m$  で  $\alpha=80^\circ$  のときの  $K_{ac}$  は 0.30、同じく  $\alpha=70^\circ$  なら  $K_{ac}=0.50$  の地震力を受けて崩壊するということになる。因サハシラスの強度定数を同一としたときの静止時ににおける斜面の限界高さを示すと表1のようになる。これらの計算結果から、 $\alpha=80^\circ$  の斜面の静止時における限界高さは 27.6 m であるが、地震時には 0.38 の加速度を受けたときは約 25 m、0.48 では約 12 m とその限界高さが減じてくることになる。以上の解析では、石原助教授の方法と同様に、シラスの強度定数の振動による低下は考慮していない。したがって実際の地震の場合には強度定数の低下を考慮すれば、限界高さや限界加速度は上記の値よりさらに小さくなるであろう。このような強度定数の変動による  $K_c$  と  $K_{ac}$  との変化を求るために、参考までに現在実験中の気乾シラス ( $\gamma=0.956 \text{ kN/m}^3$ ,  $C=0.075 \text{ kN/cm}^2$ ,  $\phi=46^\circ$ ) の場合について計算した結果を図5に示しておく。

#### 4. 模型実験

室内実験は、懸垂式振動台に固定した片面ガラスの木箱(内法寸法は 26 cm × 35 cm × 65 cm)に気乾シラス(含水比  $W_a=1.6\%$ )を均質に締固め、所定の高さと勾配をもつ片斜面の盛土について振動実験を行なっている。振動台の駆動装置は、周期が 0.1 sec. から 1.6 sec. まで無段变速が可能で、振幅は 0 ~ 30 mm の範囲で変化せられる。振動加速度は現在スマートドベーパに記録した振動波形(木箱の長軸方向の水平振動で、斜面に直角方向)から計算しているが、加速度計による記録装置も準備中である。実験結果については、本文では紙数の都合により詳述する余裕がないので、崩壊状況を写真1に、シラス試料の強度を図6に示すだけに留める。

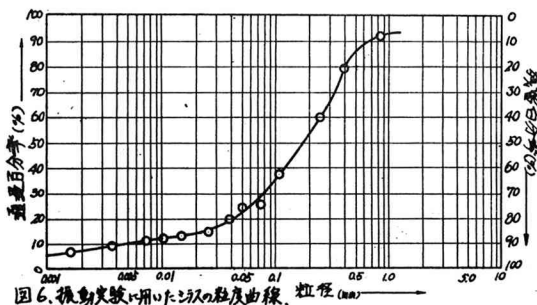


図6. 振動実験に用いたシラスの強度曲線。粒径 (mm)

#### 参考文献

- 1) H.B.Seed & R.E.Goodman : Earthquake Stability of Slopes of Cohesionless Soils, Proc. ASCE, Vol. 89, No. SM-6, Nov. 1964.
- 2) R.E.Goodman & H.B.Seed : Earthquake-Induced Displacements in Sand Embankments, Proc. ASCE, Vol. 92, No. SM-2, March 1966.
- 3) 石原助教授 : 地震におけるシラス斜面崩壊実験(第3回), 建設省土木研究所所刊機械資料第2号, 昭和33年8月。

表1. 静止時の限界高さ

$\alpha$	$H_c$
60°	94.2 m
70°	46.1 m
80°	27.6 m
90°	19.3 m

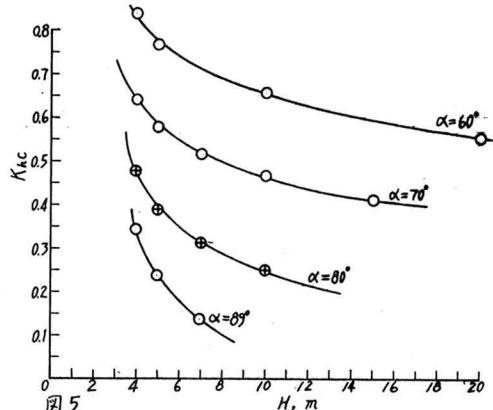


図5.

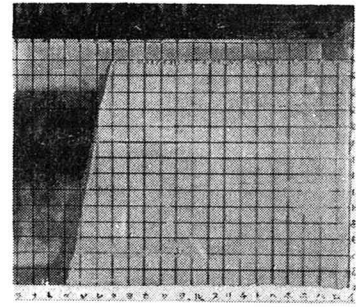


写真1(a). 加振前のシラス盛土 ( $\alpha=80^\circ, H=30 \text{ cm}$ )

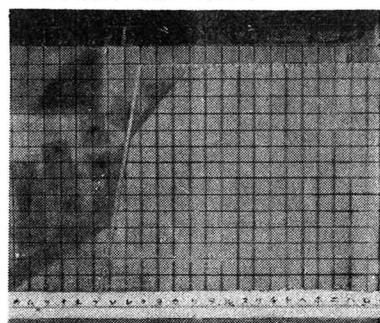


写真1(b). 振動加速度 8.63 g で 2.5 分間走行した後の崩壊状況